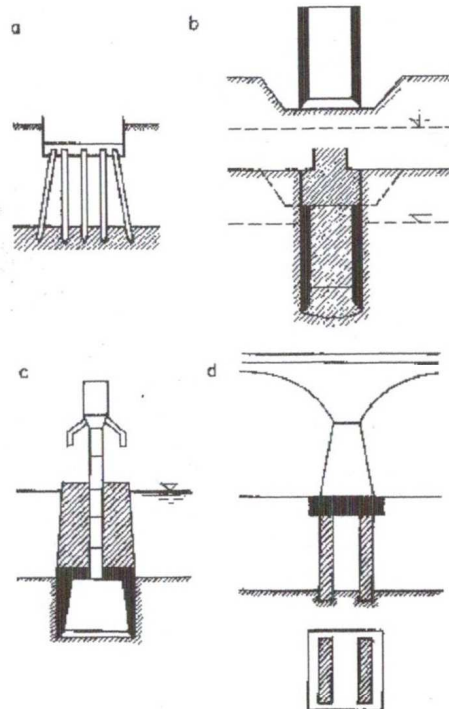


## Hlubinné základy



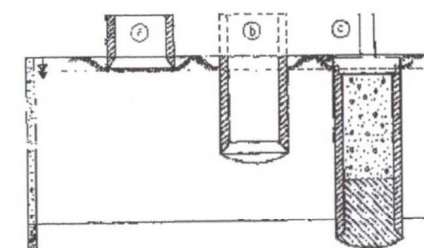
Obr. 1. Druhy hlubinného zakládání  
a - piloty; b - studně; c - keson; d - podzemní stěny

Důležité pro návrh:

- zatížení
- idealizovaný geol. profil
- mat. model základů (otázka únosnosti; interakce)

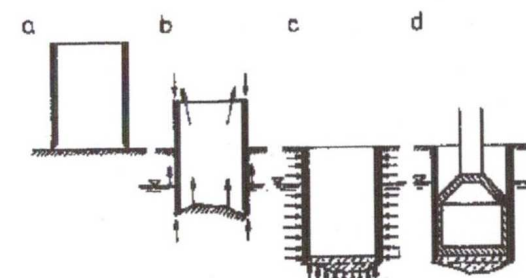
## STUDŇOVITÉ ZAKLÁDÁNÍ

Konstrukce válcovitého nebo hranolovitého tvaru, nahoře i dole otevřené, zapouštěné do země podhrabáváním.  
Nejprve stavební jáma do úrovně podzemní vody; v ní první část studně (obr. 2 a).  
V průběhu spouštění se postupně plášť zvyšuje (b). Po dosáhnutí požadované hloubky se vnitřní prostor úplně nebo částečně vyplní betonem (c).  
V praxi max. do 70 m pod HPV.



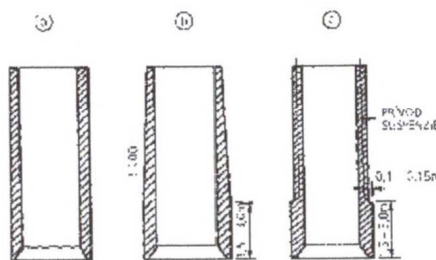
Obr. 2. Postup výroby studnového základu  
a – první prstenec; b – postupné spouštění a nadbetonovávání; c – vyplnění vnitřního prostoru a ukotvení nosné konstrukce

Zvláštní druh jsou studně tvořící obvodové stěny objektů. Vnitřní prostor se nevyplní, ale účelně využije. Podzemní část studny se vybetonuje nad terénem a jako studna se spustí do příslušné hloubky (objekty čerpacích stanic, garáží i suterény budov)



Obr. 3. Pracovní postup při studňovitém zakládání  
a - zhotovení studně na terénu; b - spouštění; c - zabetonování dna; d - zhotovení základu

Vhodnost: F a hrubozrnné zeminy (podmínka: bez balvanů a dalších překážek)



Obr. 4. Tvary pláště ve svislém řezu

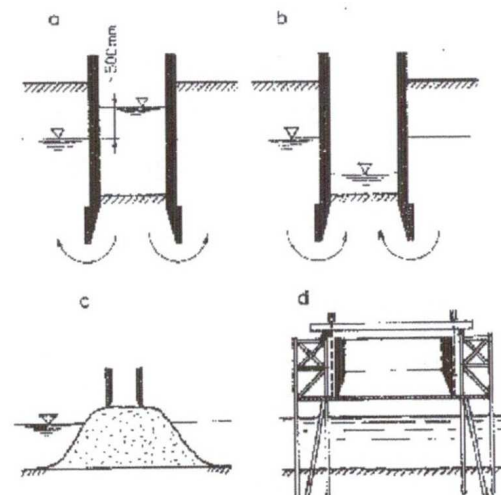
a – s konstantní tloušťkou stěn; b – se sklonem vnějšího povrchu; c – s odskokem vyplňeným jílovitou suspenzí

a – nejlepší stabilita, při větších hloubkách velké tření

b – tření se zmenší, problém směru

c – nejlepší řešení

Dnes náhrada pilotovým založením (mikropilotová stěna)



Spouštění studně

a – správný postup; b – špatný postup; c – spouštění z ostrůvku; d – z lešení

spouštění podhrabáváním břitu (tj. klesání vlastní vahou)

Technologické postupy: z terénu

z lešení  
z umělého ostrůvku při zakládání na vodě

### Statické řešení studně

Podmínka 1 MS

$$q = \frac{V + W}{A} \leq R_d$$

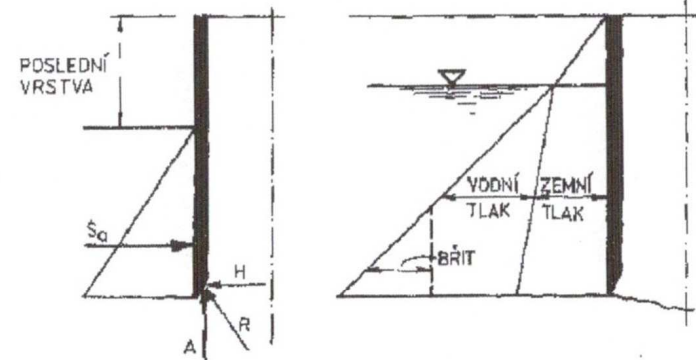
Hmotnost studně ~~z tlaku vody~~

$G - V_w T + R$  – reakce (odpor) horniny

~~z tlaku vody~~

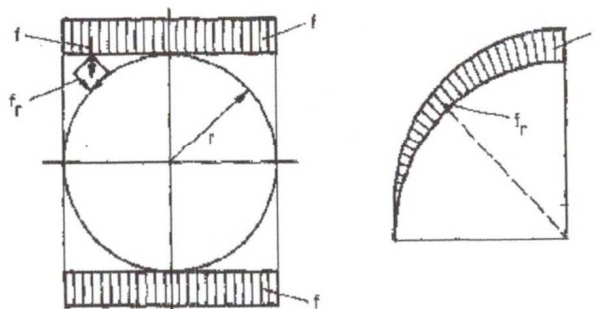
Namáhání k-ce studně

a b



dle Bažanta 1973

1. etapa – betonáž na plnou výšku, břít v zemině
2. etapa – studně spuštěna na plnou výšku a břít podhrabán
3. etapa – zvláštní namáhání



Zvláštní namáhání studně

Namáhání tlak-tah

$$M_{\max} = \pm 0,25 f r^2$$

Studně z prostého betonu

$$R = r \sqrt{\frac{\sigma_d}{\sigma_d - 1,75 f}}$$

R, r – vnější a vnitřní poloměr studně

$\sigma_d$  - normové namáhání stěny

f – střední zatížení od  $S_a$  a vodního tlaku

Podélná výztuž – dimenze na tah

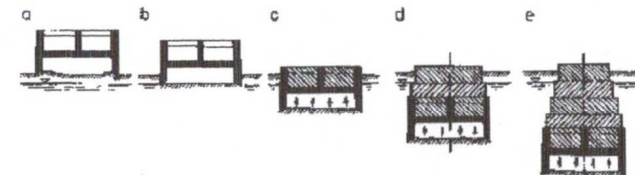
## KESONOVÉ ZAKLÁDÁNÍ

Dutá tělesa uzavřená stropem spouštěná podhrabáváním

Pomocí stropu se vytváří pracovní komora spojená s terénem komunikační šachtou ukončenou vzdušnicí.

Voda se v prac. komoře vytláčí pomocí tlaku vzduchu (zvyšování s hloubkou). Použití pro základové půdy ve kterých se vyskytují překážky, které by bránily použití studní.

Ruční odstraňování, po ukončení se prostor vyplní betonem.



Obr. 5. Schéma kesonového zakládání  
a - zhotovení kesonu; b - stabilizace kesonu; c, d - spouštění kesonu a betonáž pilíře; e - usazení kesonu

Dnes náhrada velkoprůměrovými pilotami.

Druhy:

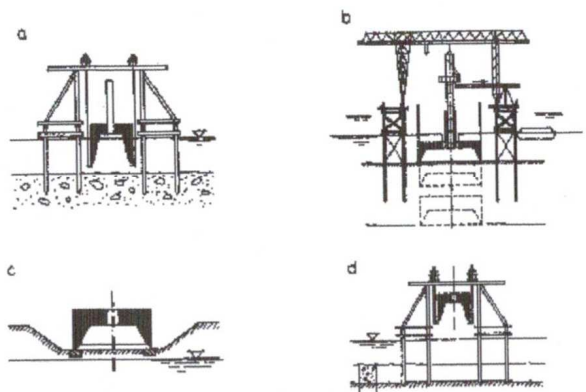
- masivní železobetonové (do průměru 15 - 30 m)
- vylehčené (žebrové)
- ocelové (přes průměry 20 - 30 m; do balvanitých zemin)

Technologie: existence přetlaku (lidový faktor, hranice je 35 m pod vodou)

Spouštění:

- z terénu
- z pontonů
- z umělého ostrůvku
- připlavením kesonu

Problém zvládnutí hmotnosti (10 kt)



Obr. 6. Technologie spouštění

a - z lešení; b - z lešení pomocí jeřábů; c - z terénu; d - z lešení pomocí závěsů

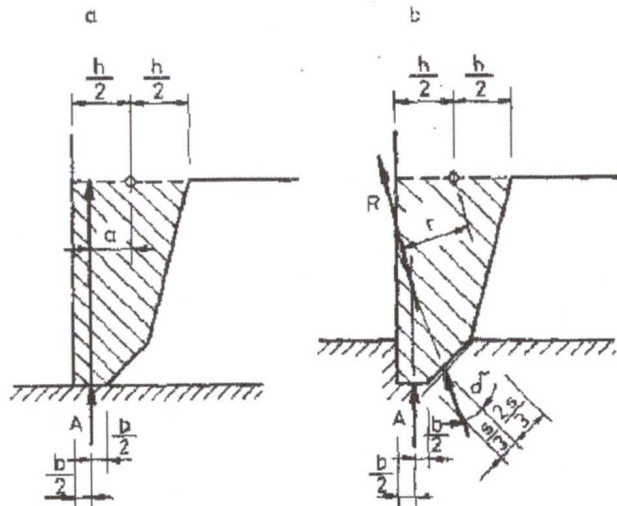
#### Statické řešení kesonu

Podmínka 1 MS

Podmínka tření

$$q = \frac{W_k + W_n + V}{A} \leq R_d$$

$$T = W_k + W_{nl} + V_0$$



Obr. 7. Schema statického řešení

Situace 7a – keson odbedněn, reakce

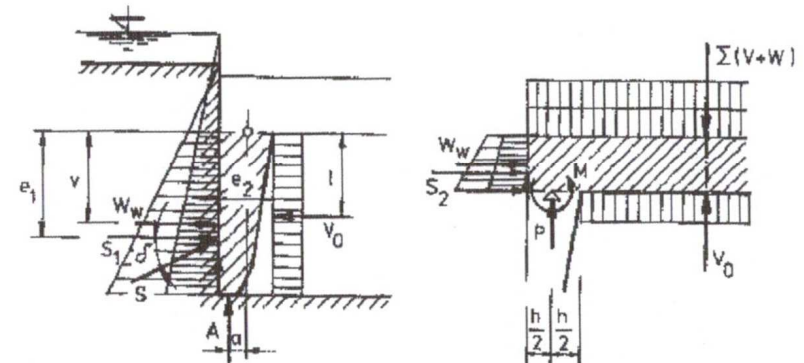
$$A = \frac{W}{2} \quad \text{a konzola namáhána} \quad M = A \cdot a$$

Situace 7b – keson zabořen

$$M = R \cdot r$$

Výsledný moment ve vektoru M dle 7 a 8.

$$M = \pm \frac{f \cdot l^2}{31} \quad \text{až} \quad \frac{f \cdot l^2}{38}$$



Obr. 8. Schema statického řešení  
Kesony do S a C se dimenzují v podélném směru na ohybový moment

$$M = \pm \frac{f \cdot l^2}{80}$$

## PODZEMNÍ STĚNY

Vytváří souvislou stěnu do hloubky několik desítek metrů, může přenášet zatížení vyvolané konstrukcí.

Fukce je pažící i těsnící

Nástroje – rypadla, drapáky, hydrofrézy (dvě proti sobě rotující frézy (okolo 1m) poháněné hydraulickým motorem (až do hloubky 155 m)

Budování - pouze pod ochranou pažící suspenze (jíl + voda):  $\rho = 10,6 \sim 10,9 \text{ kN/m}^3$

samotuhnoucí suspenze (cement + voda + bentonit + chemické přísady);  $\rho = 11,8 \sim 13 \text{ kN/m}^3$

Vzniká aktivní tlak (uvolnění deformací ve vodorovném směru) složený z:

■ efektivní složky aktivního tlaku  $\sigma_x$

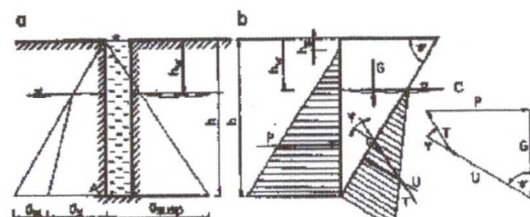
■ hydrostatického tlaku vody v okolí rýhy  $\sigma_w$

Proti tomu působí tlak suspenze  $\sigma_{SUSP}$

V bodě A je vodorovné napětí vyvolané změnou :

$$\sigma_x = K_a \cdot [\gamma \cdot h_w + \gamma_{SU} \cdot (h - h_w)]$$

$$K - \text{součinitel aktivního tlaku } K_a = \tan^2(45 - \frac{\phi}{2})$$



Obr. 7. Stabilita rýhy pažené suspenzí

a) zatížení rýhy, b) stabilita v rovinových podmínkách, c) složkový obrazec

Musí platit

$$\sigma_{SUSP} \geq \sigma_x + \sigma_w$$

po dosazení

$$h \cdot \gamma_{SUSP} \geq K_a \cdot [\gamma \cdot h_w + \gamma_{SU} \cdot (h - h_w)] + (h - h_w) \gamma_w$$

Vliv tlaku vody má 2. extrémní případy:

1) Žádná podz. voda ( $h_w = h$ ):

2) Voda dosahuje až k povrchu ( $h_w = 0$ ):

$$\gamma_{SUSP} \geq K_a \cdot \gamma$$

$$\gamma_{SUSP} \geq K_a \cdot \gamma_{SU} + \gamma_w$$

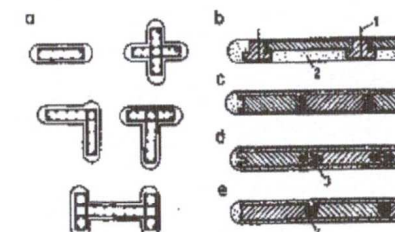
Toto jsou zjednodušené vztahy, skutečný průběh ovlivňuje prostorový stav napjatosti.

Způsob zhotovení:

■ MONOLITICKÁ PODZEMNÍ STĚNA: 1. Stádium - hloubené sekce do šířky 1,5 m a délky 9 m. Na obou koncích se vloží ocelové pažnice a po zasunutí armatury se stěna zabetonuje. Ocelové pažnice se vytáhnou při tvrdnutí betonu; za první sekci se vynechá sloup neporušené zeminy a pokračuje se v dalších sekcích

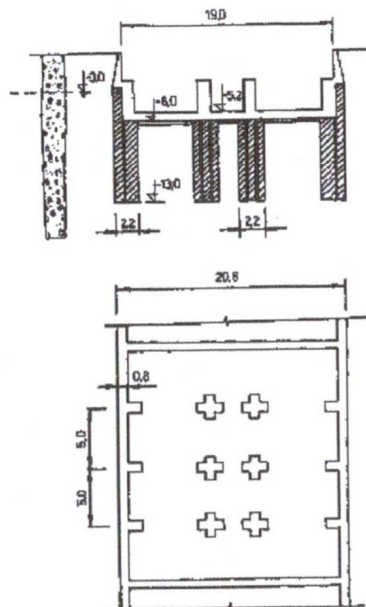
2. stádium - hloubení mezilehlých úseků, nejsou potřebné pažnice

■ PREFABRIKOVANÉ - odstraňují nedostatky (nezaručená kvalita stěny, nerovný povrch po odkrytí). Rýhy se plní samotuhnoucí suspenzí. Dva typy konstrukčních systémů



Obr. 8. Půdorysné tvary konstrukčních podzemních stěn  
a) monolitické prvky, b) prefabrikované z nosníků a desek, c) prefab. deskové na pero a drážku, d) styk těsněný gumovým tvarovaným pásem, e) těsnění styku gumovou hadicí; 1 - kotvení, 2 - samotuhnoucí suspenze, 3 - gumový tvarovaný pás, 4 - gumová hadice vyplňená cementovou injektáží

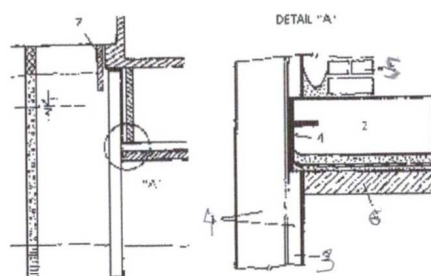
Podzemní stěny se uplatňují zejména na obvodu jámy.



Obr. 9. Založení výškové budovy na podzemních stěnách

Stabilita: zajištění kotvením, veknutím nebo rozepřením. Deformace vzhledem k tuhosti základu budou velmi malé.

Připojení základové desky na podzemní stěnu – nároky na izolaci prostor pod HPV.



Obr. 10. Připojení základové desky na podzemní stěnu

1 – podzemní stěna; 2 – základová deska; 3 – výztuž; 4 – ocelová pásnice; 5 – cihly máčené do gumoasfaltu; 6 – podkladový beton; 7 – vodicí stěna

#### Statický návrh únosnosti

Nejsou normativní předpisy.

Uskutečnění zatěžovací zkoušky na pokusné lamele.

Výpočetní postup podle Ferrandona

$$R_d = AR_b + \sum u h_i f_{zi} \quad (\text{kN})$$

$$R_b = ah\gamma + bc \quad (\text{kPa})$$

$A$  - plocha příčného řezu podzemní stěny ( $\text{m}^2$ )

$R_b$  - únosnost základové půdy pod patou podz. stěny (kPa)

$u$  - obvod podzemní stěny (m)

$h$  - mocnost vrstvy stejných vlastností (m)

$f_{zi}$  - mobilizované tření na plášti podz. stěny (kPa); tab.1

$a, b$  - součinitelé závislé na úhlu vnitřního tření; tab.2

$\gamma$  - objemová třha zeminy ( $\text{kNm}^{-3}$ )

$c$  - soudržnost zeminy (kPa)

$\phi(\circ)$	$a$	$b$
5	0,45	6,0
10	1,4	7,4
15	2,3	8,3
20	3,9	10,6
25	6,0	13,4
30	9,2	16,2
35	14,8	20,8
40	22,1	25,8
45	33,6	37,0
50	69,1	57,8

Tabulka 1. Součinitelé pro výpočet únosnosti pod patou

Typ zeminy	$f_{zi}$ (kPa)
Mäkká, organická hлина	2 + 18
Rašeliná	3,5 + 6
Hlina olastickej konzistencie	3,5 + 18
Mäkký íl	7 : 23
Íl strednej a nízkej plast city	7 + 39
Tvrdý íl, tunoplastickej íl	18 + 34
Tvrdý prachovitý íl	28 + 35
Piesok hlinitý	35 + 58
Piesok	23 + 42
Piesok so štrkem	39 + 116
Štrk	58 + 134

Tabulka 2. Únosnost na plášti

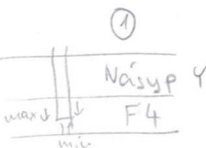
Pozn.: dolní limit pro F zeminy s vyšší vlhkostí nebo kypré nesoudržné zeminy  
horní limit pro F zeminy nad HPV nebo ulehle nesoudržné zeminy

## 2. přednáška

### INTERAKCE PILOTY A ZÁKL. PŮDY

#### MECHANISMUS MOBILIZACE ÚNOSNOSTI

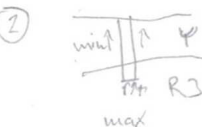
vnější zatížení přenášeno v homogenním prostředí nejprve pláštěm  
pak patou



#### vrstevnaté prostředí

- ① - pata vložena do méně stlačitelné vrstvy - nárůst poměru
- ② - pata vložena do nestlač. R prostředí

zvážnost poměru napětí v  
patě a pláštového tření



kritický posun - def. nutná pro plnou mobilizaci pláštového tření  $q_s$  (5-20 mm)

velikost závislá na drsnosti stěn (ne na profilu piloty)

↳ technologií

velikost pláštového tření  $q_s$  - vliv profilu podstatný

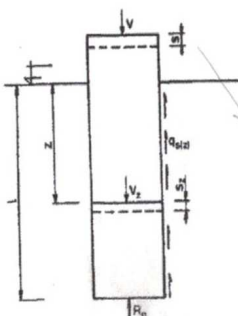
zvětšováním klesajícího  
tření

#### PŘENOSOVÉ FUNKCE

Znalost - pracovního diagramu (zatížení na deformaci)

- průběh svislé sily (resp.  $\sigma_n$ ) v dířce na délce (tenzometrická měření)
  - ~~zatížení měřené působením silou na patě~~
- při znalosti  $\sigma_n$  stanovení také průběhu osové sily  $V_z$  (funkce hloubky  $z$  a změny

zatížení  $V$ ) v pilotě pro působící vnější zatížení  $V$ .



↳ Stanovinou jaká síla  $V_z$   
bude v závislosti na hloubce  $z$   
max. sednutí v hloubce

Obr. 1. Znázornění sil působících v dířce piloty

$$s_z = s - \int_0^z \frac{V_z}{E_b \cdot A_p} dz$$

s - sednutí hlavy piloty  
plocha modelu působnosti

pro vypočítané  $s_z$  pro každou hloubku lze stanovit tzv. přenosovou funkci  $F_{z,s}$

síla v patě

celk. zatížení v hloubce piloty

$$R_p = V - \int_0^l \pi d q_{s(z)} dz$$

pláštové tření

síla přenášená pláštěm

$$R_s = V - R_p$$

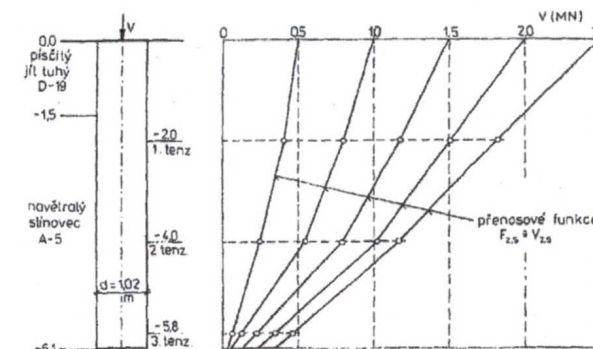
koefficient přenosu

$$\beta = \frac{R_p}{V}$$

dvě možnosti

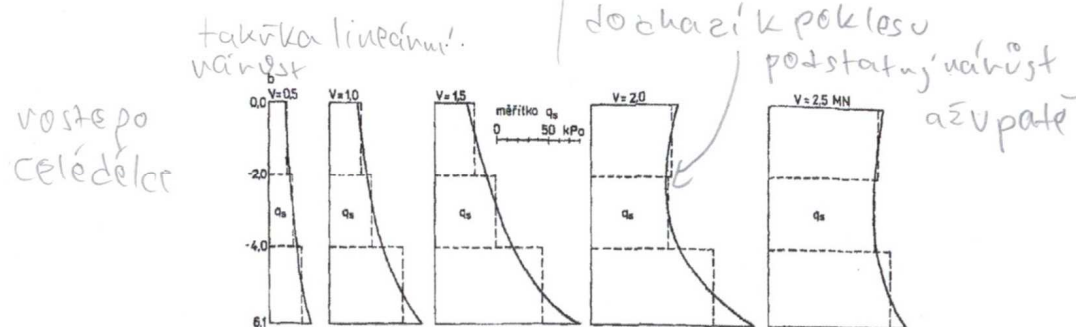
1)  $z = \text{konst.}$  - průběh  $q_s$  s posunem piloty  $s$

2)  $s_z = \text{konst.}$  (tedy  $V = \text{konst.}$ ) - průběh  $q_s$  s hloubkou  $z$

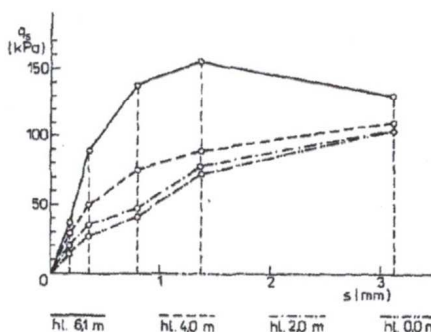


Obr. 2. Výsledky tenzometrického měření přenosu zatížení vrtané piloty, přenosové funkce  $F_{z,s}$

⇒ Větší zatížení  
přenesená  
pláštěm



Obr. 3. Průběh plášťového tření  $q_s$  s hloubkou pro různá zatížení piloty



Obr. 4. Průběh plášťového tření  $q_s$  v závislosti na deformaci piloty

Tato analýza je nejdokonalejší metodou zjištění interakce piloty a základové půdy  
 Jde vidět působení zatížení od hlavy až k patě  
**SEDÁNÍ VRTANÝCH PILOT**

#### TEORIE PRUŽNOSTI

předpoklady:

- pružná zákl. půda  $\rightarrow$  platí Hookův zákon  $E = \frac{G}{\mu}$

- homogenní prostředí

- izotropní prostředí

vstupní parametry zákl. půdy -  $E$ ,  $\mu$  - Poissanova číslo

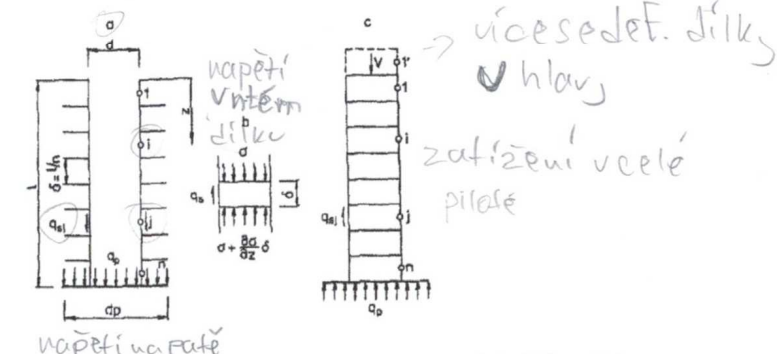
piloty -  $E_b$ , délka  $l$ , průměr  $d$ , plocha v řezu  $A_p$

$\rightarrow$  větší nápor

dochází k poklesu  
 postupný uhlubující  
 až v patě

princip – rozdělení piloty na  $n$  stejných dílků v jejichž okolí působí smykové napětí

$q_{ij}$



Obr. 5. Označení pro stlačitelnou vrtanou pilotu: a – napětí v zemině obklopující pilotu; b – napětí v dílku piloty; c – napětí v pilotě

podmínka řešení – stejná velikost sedání okolní zeminy a sedání dílku piloty  
 dle obr. 5a) lze posun bodu  $i$  v závislosti na  $q_{ij}$  podél dílku  $j$  vyjádřit

$$s_{ij} = \frac{d}{E_b} l_{ij} \cdot q_{ij}$$

modul pružnosti řídící

$l_{ij}$  - přičinkový koeficient sednutí bodu  $i$

Závěry vyplývající z řešení sedání pomocí teorie pružnosti:

- stlačitelnost vrtané piloty má vliv na rozdělení  $q_{ij}$  podél dílku

- tuhost piloty vyjádřená koef. tuhosti  $K$  je významná pro větší hodnoty  $\frac{1}{d}$

- čím menší stlačitelnost – větší rozdíl sednutí hlavy a paty

- nestlač. vrstva pod patou: menší vliv sedání = menší  $K$   $\rightarrow$  koef. tuhosti

- klesání  $K$  - zvětšování nelineární oblasti v prac. diagramu

- vliv tuhosti má významný vliv u pilot s rozšířenou patou

## VÝPOČET ÚNOSNOSTI SVISLÝCH OSAMĚLÝCH PILOT

### PODLE 2. SKUPINY MEZNÍCH STAVŮ

SVISLÁ TABULKOVÁ ÚNOSNOST  $U_{v,tab}$

použití pro (dle ČSN 73 1002):

- projekty nižších stupňů

- JZP - jednoduché zákl. používání

- I. GK

$U_{v,tab}$  závisí na hl. větknutí do zvolené únosné vrstvy a platí:

- celková délka piloty  $\geq 3d$

- zákl. půda pod patou není výrazně stlačitelná (oblast 3d nebo 2,5 m)



$3d \geq 2,5m$

- vrt je zabetonován do 36 hod., vyčištěn

- vrt s jíl. suspenzí je zabetonován do 8 hod., vyčištěn

- ve vrtu není ponechána výpažnice  $\rightarrow$  systém Raynold

- pata není rozšířena

- pilota působí jako osamělá  $\text{osová vzdálenost min } 1,5\phi$

Délka větknutí piloty $l$ v m v hornině třídy R 1 až R 3	Únosnost $U_{v,tab}$ pilot v KN v horninách třídy R 1 až R 3 a pro průměry pilot d v m						
	0,30	0,40	0,50	0,60	1,00	1,30	1,50
0 až 0,5	200	380	600	850	2300	4000	6000
1,5	300	500	720	1000	2500	4300	6000

Obr. 6. Svislá tabulková únosnost  $U_{v,tab}$  pilot vrtaných v horninách R1 až R6

### VÝPOČTOVÁ ÚNOSNOST OSAMĚLÝCH PILOT OSOVĚ ZATÍŽENÝCH

#### Výpočtová únosnost pilot opřených o nestlačitelné podloží

nestlač. podloží – R1 a R2

Rozhodující pro únosnost je výpočtové zatížení betonového dříku

$$U_{vd} = 0,8 \cdot A_p \cdot R_{bd}$$

$R_{bd}$  - výpočtová pevnost betonu

$A_p$  - plocha piloty

Celková deformace:

- deformace vyvolaná vlivem smykových napětí podél piloty
- deformace vyvolaná napětím v patě piloty
- deformace vyvolaná vlastní deformací dříku piloty

okamžité sedání

$$s = I_{sp} \frac{Vl}{A_p E_p}$$

$I_{sp}$  - přičinkový koeficient sedání opřené piloty

$V$  - svislá síla

$E_p$  - modul deformace (pružnosti) piloty

$l$  - délka piloty

$I_{sp}$  je závislý na poměru  $l/d$  a  $K$

$$K = \frac{E_b}{E_s} \rightarrow \text{zmeniny v okolí}$$

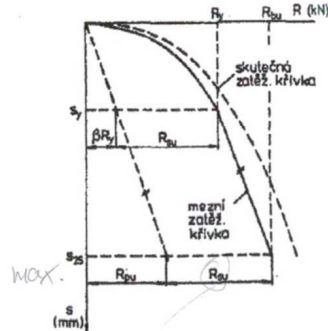
$E_s$  - průměrný sečnový modul deformace zeminy podél dříku piloty

$$E_s = \frac{\sum E_{si} \cdot l_i}{\sum l_i}$$

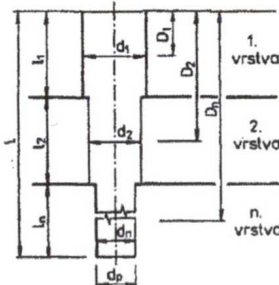
$E_{si}$  - jednotlivé sečnové moduly, f-ce d a typu zeminy

Výpočtová únosnost pilot zahlobených do stlačitelného podloží

otázka řešení tvaru mezní zatěžovací křivky viz obr. 7. a 8.



Obr.7. Mezní zatěžovací křivka vrtané piloty



Obr.8. Schéma piloty

Rovnice plášťového tření

$$q_{si} = a - \frac{b}{D_i / d_i}$$

a, b - koef. podle typu zeminy

D<sub>i</sub> - hloubka od hlavy piloty pro střed i-té vrstvy D<sub>1</sub>, D<sub>2</sub>, ..., D<sub>n</sub>

d<sub>i</sub> - průměr piloty v i-té vrstvě

výpočtová hodnota mezní síly na plášti

$$R_{su} = m_1 \cdot m_2 \cdot \pi \sum_{i=1}^n d_i \cdot l_i \cdot q_{si}$$

m<sub>1</sub> - mocnost

m<sub>2</sub> - koef. druhu zatížení viz g<sub>2</sub>

m<sub>2</sub> - koef. vlivu event. ochrany dříku g<sub>4</sub>

rovnice pro napětí v patě piloty

$$q_p = e - \frac{f}{d_p} \rightarrow \text{délka piloty}$$

e, f - koef. podle typu zeminy

d<sub>p</sub> - průměr v patě piloty

viz novinky

hornina	a	b	e	f
poloskalní	R 3	246,02	225,95	2841,31
	R 4	169,98	139,45	1616,22
	R 5	131,92	94,96	957,61
nesoudržné	lo = 0,5	62,46	16,06	288,11
	lo = 0,7	91,22	48,44	490,34
	lo = 1	154,03	115,88	1596,70
soudržné	lc = 0,5	46,39	20,81	187,74
	lc ≥ 1, R 6	97,31	108,59	987,60
				150,22
				1084,26

Obr.9. Regresní koeficienty pro typy zemin

průměrné plášťové tření pro více vrstvené prostředí

$$\bar{q}_s = \frac{\sum d_i \cdot l_i \cdot q_{si}}{\sum d_i \cdot l_i}$$

koef. přenosu zatížení

$$\beta = \frac{q_p}{q_p + 4q_s \cdot \frac{l}{d_p}}$$

zatížení na mezi plné mobilizace plášťového tření

$$R_y = \frac{R_{su}}{1 - \beta}$$

odpovídající velikost sedání

$$s_y = I \frac{R_y}{\bar{d} \cdot \bar{E}_s}$$

I - přičinkový koeficient sedání piloty

đ - vážený průměr profilu piloty → vaha jedélka úsek s konst.

$\bar{E}_s$  - průměrná hodnota sečnových modulů deformace zemin podél dříku

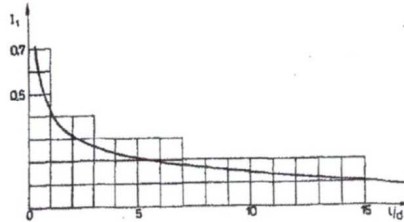
přičinkový koeficient

$$I = I_1 \cdot R_k$$

I<sub>1</sub> - základní přičinkový koeficient

R<sub>k</sub> - korekční koeficient (tuhost)

viz. norma



Obr. 10. Příčinkový koeficient sedání  
průměrný sečnový modul

$$\overline{E_s} = \frac{\sum E_s \cdot l_i}{\sum l_i}$$

sedání piloty pro zatížení R

$$s = s_y \left( \frac{R}{R_y} \right)^2$$

pro obor zatížení  $0 \leq R \leq R_y$  → mezi kruzy

Stak abychom nezničily pilotu

druhá zatěžovací větev půjde odlehčování

$$R_{bu} = R_{su} + R_{pu} \rightarrow \text{patra}$$

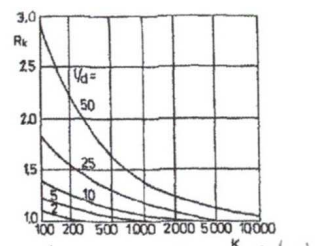
⇒ plášt

$$R_{pu} = \beta \cdot R_y \cdot \frac{s_{25}}{s_y}$$

sednutí

$$s = s_y + \frac{s_{25} - s_y}{R_{bu} - R_y} (R - R_y)$$

pro obor zatížení  $R_y \geq R \geq R_{bu}$



Obr. 11. Průběh koeficientu

$R_k$  - korelkácií koeficient

Sečnové moduly deformace  $E_s$  (MPa) pro piloty  
v horninách skalních a poloskalních

$l_i$ (m)	d (m)								
	0,6			1,0			1,5		
	R 3	R 4	R 5	R 3	R 4	R 5	R 3	R 4	R 5
1,5	50,3	28,2	20,2	72,3	35,0	24,7	85,5	33,5	22,3
3	64,5	43,1	30,8	105,5	57,3	41,0	136,3	56,8	41,2
5	—	56,2	41,3	—	75,3	54,8	—	87,9	63,7
10	—	87,5	61,6	—	114,5	83,2	—	133,0	97,0

Sečnové moduly deformace  $E_s$  (MPa) pro piloty  
v zemínách nesoudržných

$l_i$ (m)	d (m)								
	0,6			1,0			1,5		
	I_d			0,5	0,7	1,0	0,5	0,7	1,0
1,5	11,0	13,7	28,3	12,8	15,8	30,6	13,0	15,3	29,0
3	15,5	20,2	44,5	18,4	25,0	47,8	19,4	24,5	52,5
5	18,8	28,6	56,1	22,8	32,5	69,1	24,5	36,0	78,2
10	23,8	36,6	72,1	29,8	47,8	93,4	32,6	54,0	107,3

Sečnové moduly deformace  $E_s$  (MPa) pro piloty  
v zemínách soudržných

$l_i$ (m)	d (m)					
	0,6			1,0		
	0,5	1,0	1,5	0,5	1,0	1,5
1,5	6,9	13,2	7,9	13,4	8,6	12,3
3	10,0	22,0	12,5	23,9	13,7	23,0
5	12,5	31,2	15,9	35,4	18,4	36,7
10	15,5	44,3	21,3	51,3	24,6	57,4

welký funk

Obr. 12. Sečnové moduly deformace pro typy zemin

BAŽANTOVA METODA (1984)

princip: napětí pod patou se šíří do značné hloubky, ale zeminy se deformuje na hloubku  $h_a$  pod patou

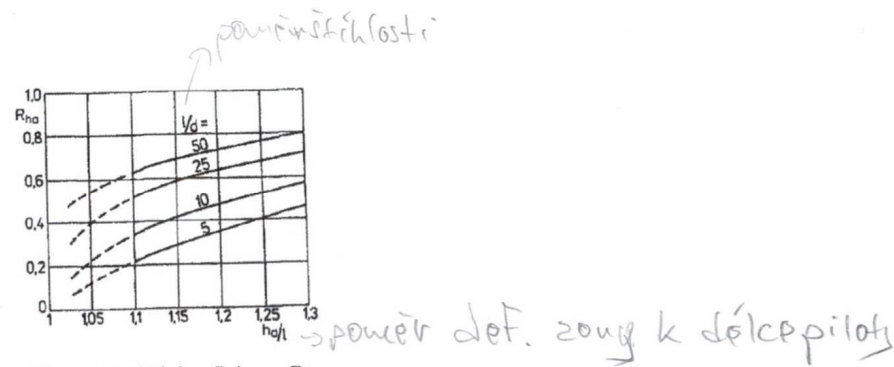
velikost deformační zóny

příčinkový koeficient sedání

$$I_{sa} = I_1 \cdot R_k \cdot R_{ha}$$

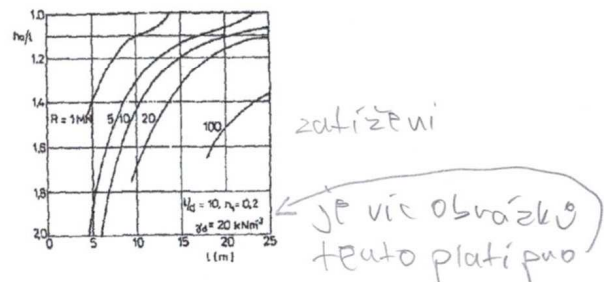
→ příčinkový součinitel

$R_{ha}$  - koeficient vlivu nestlačitelného vrstvy (viz obr. 13)



Obr.13. Průběh koeficientu  $R_{ha}$

stanovení aktivní hloubky  $h_a$  (viz obr.14)



Obr.14. Stanovení aktivní hloubky  $h_a$  podle Bažanta

sedání

$$s_y = I_{sa} \frac{R_y}{d \cdot E_{def}}$$

mez kluzu

modul deformací

piloty

### 3. přednáška

## ÚNOSNOST OSAMĚLÝCH SVISLE ZATÍŽENÝCH VRTANÝCH PILOT

*excentricita zatížení bez zvláštního povolení do 5%*

Cíl: znalosti (3) podat bezpečný a hospodárný návrh vrtaných pilot

*vlastnosti zákl. říd  
mech. a únosnost  
geometrie pilot  
technologie*

*pevnostní podmínky IIMs*

*Únosnost piloty (definice)*

*deformační podmínky IIIMs*

*zatížení při výšce pilota*

*Vy hovoruje výšce  
pozdívánkám*

*na ukladěných*

*na ukladěných*

- Rozdělení ze statického hlediska:
- opřené patou o velmi únosnou horninu
  - plovoucí - zatížení působeného pláštěm plného dříku řešení podle IGK
  - vetknuté - pláštěm nebo patou řešení podle IGK
  - s rozšířenou patou

Podmínka únosnosti: *pod patou by měla zůstat možnost vystavit zeminy*

$$V_{de} \leq U_{vd}$$

*aby nebyla prolamena vrtlakem pod HPV*

*V<sub>de</sub>* - svislá složka extrémního výpočtového zatížení

*U<sub>vd</sub>* - výpočtová únosnost ve svislém směru

$$V_{ds} \leq U_{vs}$$

*provozní*

*V<sub>ds</sub>* - svislá složka provozního zatížení působící v rovině piloty

*U<sub>vs</sub>* - normová únosnost piloty ve svislém směru

### METODY ZJIŠŤOVÁNÍ ÚNOSNOSTI

- statická zatěžovací zkouška
- statická zatěžovací zkouška ve skutečném měřítku (experimentální únosnost)
- statická zatěžovací zkouška modelové piloty
- z údajů statické penetrační zkoušky jednoduché ale nemusí být přesné
- z tabulkových hodnot svislé únosnosti  $U_{vab}$

### metody stanovení výpočtové únosnosti

a) řešení podle 1. skupiny mezních stavů

b) řešení podle 2. skupiny mezních stavů

AD a) Rankinova teorie,  $\sigma$  se určí pomocí  $K$ ,  $\rightarrow$  tlaku v klidu

*normálová napjatost*

*pláštové tření pomocí coulumova zakona*

*z pracovního diagramu*

AD b) Teorie pružnosti, konstrukce mezní zatěžovací křivky

### STATICKÉ ZATEŽOVACÍ ZKOUŠKY

1) STUDIJNÍ pro případy (jako část doplňovacího 16. přílohy)

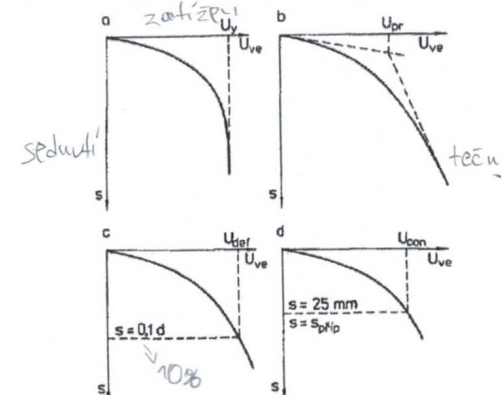
- piloty s abnormálním zatížením
  - piloty s neobvyklou technologií
  - 3 GK
  - výsledek povede k podst. snížení nákladů
- Postupy:
- provádění na modelových pilotách
  - provádění tahové zatěžové zk. zjistíme tření tahové  $\rightarrow$  pláštové tření
  - provádění zkoušky desky ve vrtu

2) PRŮKAZNÍ dělájí se těsně před začátkem pilotních prací pokud

3) KONTROLNÍ mezin. pilot víc jenek 1500 X pokud mám důvěře poskoušení prací  $\times$  význam pochyby o kvalitě z měřením geologii alespoň technologií

Výsledek stat. zat. zk. -  $U_{ve}$  (svislá experimentální únosnost) z pracovního diagramu. Další hodnoty:

- únosnost na mezi zaboření  $U_y$
- únosnost na mezi úměrnosti  $U_{pr}$
- únosnost na mezi přetvoření  $U_{def}$
- únosnost směrná  $U_{con}$



Obr. 1. Stanovení svislé experimentální únosnosti  $U_{ve}$  z výsledků statické zatěžovací zkoušky

a - únosnost na mezi zaboření  $U_y$ ; b - únosnost na mezi úměrnosti  $U_{pr}$ ; c - únosnost na mezi přetvoření  $U_{def}$ ; d - únosnost směrná  $U_{con}$

výpočtová únosnost ve svislém směru osamělé piloty  $U_{vd}$

$$U_{vd} = \frac{U_{ve}}{\gamma_{re}}$$

$\gamma_{re}$  - koeficient podmínek působení

$\gamma_{re}$  1,4 ~ 1,5 pro únosnost  $U_v$  a  $U_{pr}$

$\gamma_{re}$  1,25 ~ 1,3 pro únosnost  $U_{def}$

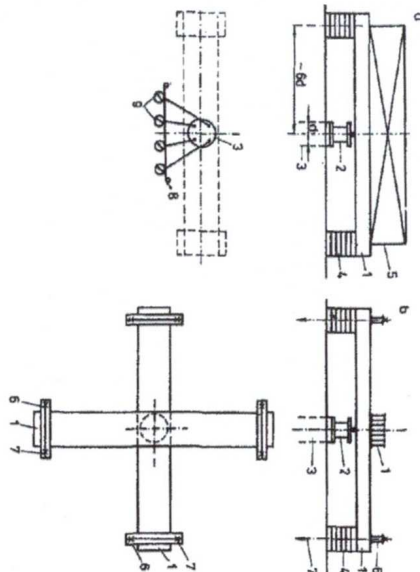
$\gamma_{re}$  1,0 ~ 1,1 pro únosnost  $U_{con}$

Nástroje pro stat. zat. zk. – hydraulické lisy

Pro 3-4 MN – mosty z paralelně svařovaných nosníků typu I (obr.2a))

Pro 6-8 MN – dva předchozí mosty položené přes sebe (obr.2b))

Do 25 MN – zatěžovací most (obr.3))



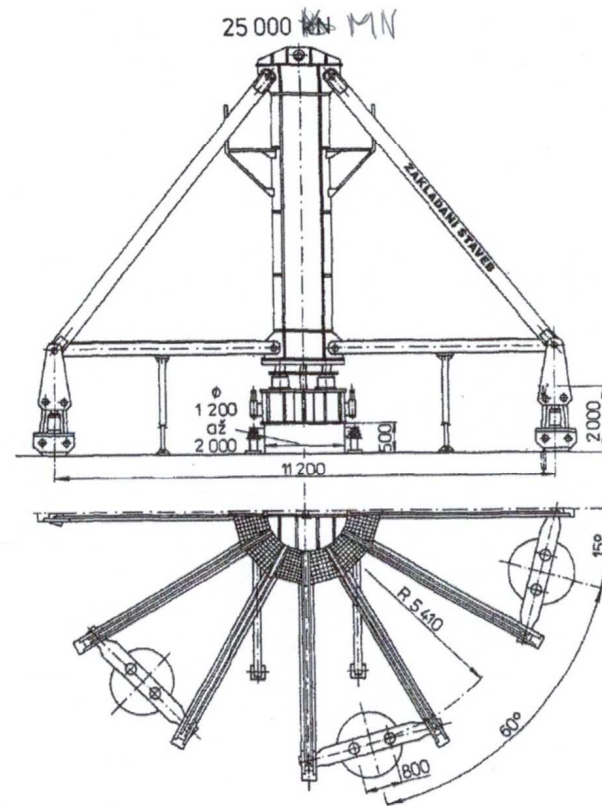
Obr. 2. Schéma zkušebních ocelových mostů

a - most pro zatížení do 3 až 4 MN, zátěž vnější (panely, ingoty);

b - most pro zatížení do 6 až 8 MN, kotvená konstrukce

1 - zkušební ocelový most; 2 - hydraulický lis; 3 - zkušební piloty; 4 - podpůrná konstrukce; 5 - zátěž; 6 - příčníky; 7 - zemní kotvy nebo tahové piloty; 8 - podpůrná konstrukce pro osazení měřidel sedání; 9 - snímače sedání

*výkon musí být větší než  
max. zatížení*



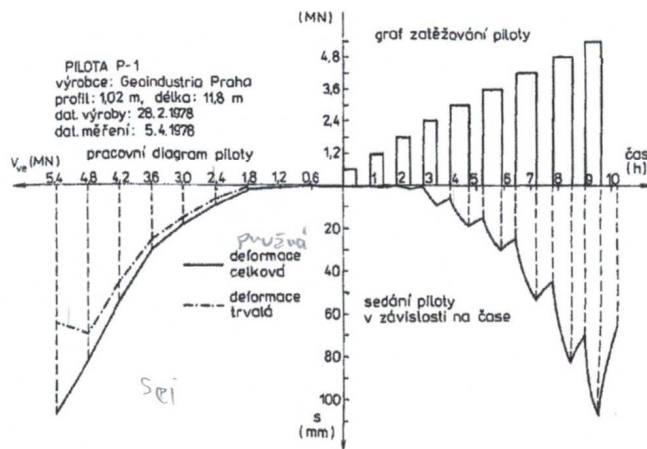
Obr.3 Zkušební zatížení pro extrémní zatížení pilot do 25 MN

Vyvození zatížení po stupních odpovídajících 5-10% předpokládanému max. zatížení piloty

Pojem ustálená deformace -  $\delta$  def. za 15 min nepřekročí 0,05 mm apodle  
Odlehčovací stupně - následuje po každém zat. stupni nebo po 2,5, 10  
Ukončení zkoušky

Výsledek na obr.4.

*výčerpavá kap. zkušebního zariadenia*  
*deformace přesahne 10% préměny pilota*  
*zničení hlavy pilota*



Obr.4. Grafické zpracování výsledků měření při statické zatěžovací zkoušce piloty

Odlišný postup u studijních zkoušek:

měření úbytku svíslé síly (napětí) v závislosti na hloubce

údaje -  $q_s$  plášťové tření | v závislosti na hloubce  
 $q_p$  napětí na patě piloty

Přístroje:

- a) strunové tenzometry – pomocí osciloskopu měření poměrného přetvoření struny  $V$  levnost i snažnost aplikace
- b) Freyssinetův lis – lis nad patou piloty

návěstnice na instalaci ale přesnější výsledky

#### MODELOVÉ PILOTY

Max zmenšení 1:3

Metoda: separace plášťového tření dle Weeleho

Předpoklad: plná mobilizace plášťového tření kdy závislost  $R_p$  a  $s_p$  je ještě lineární

Zkoušky: odlehčovací stupně do úplného odlehčení (odečítáme trvalé a pružné sednutí)

Postup dle obr.4.

1) odhad několika  $\bar{q}_s$  pružné plášťové tření

2) pro každé  $\bar{q}_s$  spočteme sílu na plášti

$$R_{si} = \pi \cdot d \cdot l \cdot \bar{q}_{si}$$

a sílu v patě

$$R_{pi} = V_i - R_{si}$$

$V_i$  - příslušný zatěžovací stupeň u kterého došlo k úplnému odlehčení

3) pružná deformace piloty

$$s_{ei} = \frac{V_i + R_{pi}}{2} \cdot \frac{I}{E_b \cdot A_p} \text{ - plocha modul pružnosti}$$

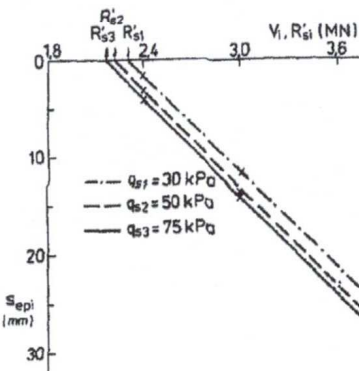
a z diagramu na obr.4. odečteme trvalou deformaci  $s_n$

pružné zvednutí paty

$$s_{epi} = s_{ri} - s_{ei}$$

opakování min. 3x pro příslušné zatěžovací stupně

4) grafické zakreslení (viz obr.5.)

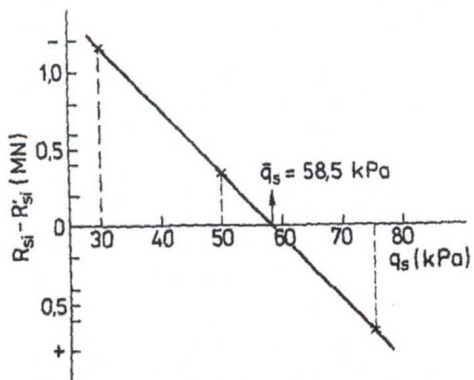


Obr.5. Separace síly na plášti piloty dle van Weeleho (1957)

5) spočtení

$$R_{si} - R'_{si}$$

a vynesení do grafu na obr.6.



Obr.6. Určení velikosti plášťového tření dle van Weeleho  
a získání průměrného plášťového tření  $q_s$ , a zpětný rozbor obr.5. (pro  
jaký zatěžovací stupeň  $V_i$  odpovídá vypočtené  $q_s$ ,  
6) pomocí diagrama na obr.4. odečteme příslušné sedání s.

Nevýhody

#### STATICKÉ PENETRAČNÍ ZKOUŠKY

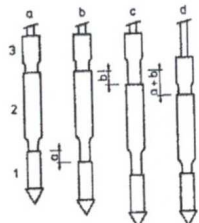
Princip

Totální odpor

$$Q_t = q_{st} + f_s$$

$q_{st}$  - odpor na kuželovém hrotu

$f_s$  - lokální plášťové tření



Obr.7. Jednotlivé fáze penetračního sondování pomocí Begemanova hrotu s třecí  
manžetou

1 – špička hrotu sondy; 2 – třecí manžeta; 3 – spojovací díl hrotu k tlačnému soutěží

I. fáze – obr.7.a), měření celkového odporu  $Q$

$$Q_t = Q \cdot S_p / \text{kN}$$

II. fáze – obr.7.b), měření totálního odporu na špiči

$$q_{st} = \frac{Q_t \cdot S_p}{A_c} / \text{Mpa}$$

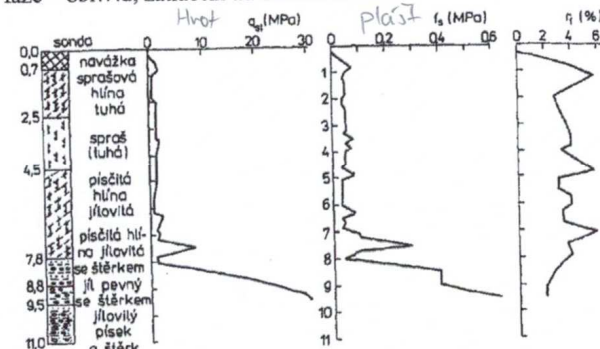
$A_c$  - plocha podstavy hrotu

III. fáze – obr.7.c), měření odporu na hrotu

$$f_s = \frac{(Q_s - Q_t) \cdot S_p}{A_s} / \text{Mpa}$$

$A_s$  - plocha pláště manžety ( $0,015 \text{ m}^2$ )

IV. fáze – obr.7.d, zatlačení na další hloubku



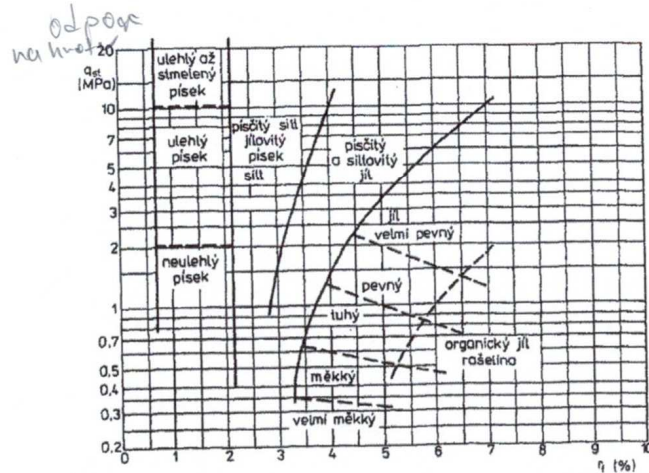
Obr.8. Příklad grafu statické penetrace (křivky jsou zjednodušeny)

$$\text{Třetí poměr } r_f = \frac{f_s}{q_{st}} \cdot 100\%$$

Korelace ve vztahu ke klasifikaci zemin obr.9.

V. Fyzická alevucí metoda

určení: pevnostní vlastnosti  
profily



Obr.9. Klasifikace zemin na základě statické penetrační zkoušky dle Sanglerata (1972)

Únosnost

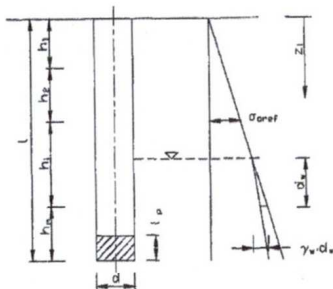
$$U = A_p \cdot q_p + \pi \sum d_i \cdot l_i \cdot q_{si}$$

$q_p = q_{st}$  - odpor na hravku  
 $q_{si} = 2 \cdot f_{si}$  - pláštové výtření na trčích názevách  
 $q_{st} = \frac{q_{sti}}{400}$  - odpor na hravku v tot. paravetech

Výsledná únosnost/ $f_b$  (souč. bezpečnosti) = 3  $\Rightarrow$  moc již nevěříme

#### STATICKÉ VZORCE

Vstupní hodnoty



Obr.10. Statické schéma piloty pro obecný výpočet únosnosti dle 1. skupiny mezních stavů

vstupní hodnoty:  $\gamma_{r1}$   $\gamma_{r2}$

$\gamma_{r1}$  i  $\gamma_{r2}$  - součinitele stat. působení zákl. půd

Získání výpočtových parametrů  
 Výpočtová únosnost svislé piloty

$$U_{vd} = U_{bd} + U_{fd} \geq V_d$$

výp. únos. paty      výp. únos. na plásti      svislá složka výp. extr. zatížení

$$U_{bd} = k_1 \cdot A_s \cdot R_d - \text{VÝNOSNOST V A PELT}$$

$A_s$  - plocha paty piloty

$k_1$  - koef. zvětšení únosnosti vlivem délky piloty

$l \leq 2$ m	$k_1 = 1$
$2 < l \leq 4$	$k_1 = 1,05$
$4 < l \leq 6$	$k_1 = 1,1$
$l > 6$ m	$k_1 = 1,15$

Výpočtová únos. paty piloty  $\xrightarrow{\text{součinitele únosnosti}}$

$$R_d = 1,2 c_n \cdot N_{cn} + (1 + \sin \varphi_n) \frac{\sum_{i=1}^n \gamma_i \cdot h_i}{\sum_{i=1}^n h_i} \left( l \cdot N_{dn} + 0,7 \gamma_n \frac{d}{2} \cdot N_{bn} \right)$$

Výpoč. únosnost na plásti

$$U_{fd} = \sum_{i=1}^n h_i \cdot f_{si}$$

Tření na plásti

$$f_{si} = \sigma_{xi} \cdot \operatorname{tg} \left( \frac{\varphi_d}{\gamma_{r1}} \right) + \frac{c_d}{\gamma_{r2}}$$

$$\sigma_{xi} = k_2 \cdot \sigma_{ori}$$

$z \leq 10$ m	$k_2 = 1,0$
$z > 10$ m	$k_2 = 1,2$

$z \leq 1$ m	$\gamma_{r2} = 1,3$
$1 < z \leq 2$	$\gamma_{r2} = 1,2$
$2 < z \leq 3$	$\gamma_{r2} = 1,1$
$z > 3$	$\gamma_{r2} = 1,0$

## Podle technologie

$\gamma_{r1} = 1,0$  - betonáž piloty bez ochrany výpažnice

$\gamma_{r1} = 1,1$  - betonáž piloty do suchého vrtu

$\gamma_{r1} = 1,2$  - betonáž piloty bez výpažnice po vyčerpání vody

betonáž do vrtu chráněného výpažnicí při oddělené betonáži

$\gamma_{r1} = 1,25$  - betonáž piloty do vrtu chráněného suspenzí

betonáž do vrtu chráněného fólií PVC, PE tl. max 0,25 mm

$\gamma_{r1} = 1,5$  - betonáž piloty do vrtu chráněného výpažnicí

betonáž do vrtu chráněného fólií PVC, PE tl. min. 0,25 mm

$\gamma_{r1} = 1,6$  - betonáž piloty do vrtu chráněného suspenzí s ochranou PVC,PE

betonáž piloty s  $d > 2$  m chráněného suspenzí

Účinnou délku piloty lze zmenšit pro určení  $U_s$

$$l_p = \frac{d}{4} N_d^{\frac{2}{3}}$$

# 4. přednáška

## TECHNOLOGIE PROVÁDĚNÍ VRTANÝCH PILOT

Technologický postup: 4. základní fáze

- vyvrtání či vyhloubení vrtu - ne pažené x pažené - pažnice
- přípravné práce - píce betonáží - pročistění zubů ředících
- armování a betonáž - práce s armokosy - odstranění nebezpečného suspenze
- odpažení a úprava hlavy

nejlepší v jílovém kuse  
musíme dělat pozornou výku

AD c) zapuštění a osazení armokosy

betonáž pomocí: - krátké usměrňovací roury

- betonovací roury pod větou nebo suspenzi
- čerpadla na beton (nebo)

se současným odčerpáváním jíl. suspenze nebo vody a vytahováním výpažnic

AD d) úprava hlavy:

- osazení kalichu
  - zvláštních kotevních prvků
  - spojovací výztuže
  - zvl. případ tzv. utopená hlava
- hlavu přebetonujeme  
- odbočujeme vrchní část  
- přebetonujeme

### VRTY PRO PILOTY

Technologie betonáží na místě: - rotační vrtání za sucha

- o drapákového hloubení
  - o rotačního vrtání nekonečným šnekem
  - o jiné (sací, rotačně příklepné, s nepřímým proplachem atd.)
- spíše skalní horniny

### Vrtné nástroje

Pro rotační

- šapy - lžicové vrtáky

R5; R6

pro soudržné i nesoudržné (neobsahují větší balvany), poloskalní, zvodnělé písky

tzv. pískové šapy (po odvrtání uzavřou dno)

výhody: sypání zeminy přímo na dopravní prostředky

- spirálové (talířové) vrtáky

jíly  
zvláště do C zemin

nevýhody: větší možnost porušení stěn a padání zeminy na dno

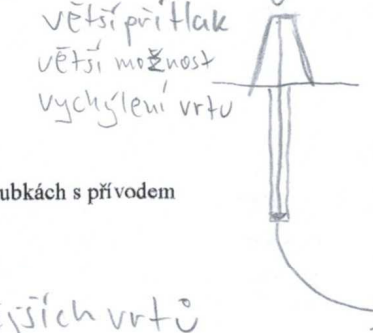
nepořádek - systém vyprázdnění nástroje

c) vrtací korunky s břity do R homin

vhodnost pro odvrtání tvrdých vložek  
definice korunky, nároky na volbu rychlosti otáčení a přitlaku

d) speciální skalní frézy spíše tunely

N: finance a velká zkušenosť



Pro drapákové

systém BENOTO - drapák zapouštěný na prodlužovacích trubkách s přívodem

tlakového oleje zavřený na výložníku bagru

vhodné do nesoudržných balvanitých zemin

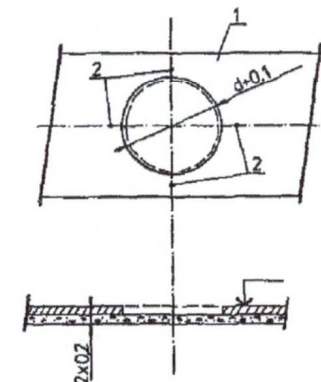
vždy paží jedou z nejkvalitnějších vrtů

Zajištění vytyčené polohy piloty

měřická služba

značka z betonářské oceli v úrovni terénu ( $h_{min} = 0,3$  m)

šablona z betonu ( $h = 0,2$  m)



Obr.1 Betonová šablona pro zajištění polohy piloty

1 – prostý beton; 2 – značky pro stabilizaci středu piloty

### Nepažené vrtby

av skalních  
Do soudržných zemin, R.

Nároky na kontrolu kvality stěn v průběhu vrtání

Pro průměry větší než 1 m – pažení ohlubně do hloubky 2 m, nad terén 0,3 m

Betonáž max. do 36 hodin po odvrtání *zahojit*

Zákaz vrtání bez pažení v zeminách *uposkytovat*  $c=0 \text{ s } I_d \leq 0,5$

*soudržnost* index relativní vleklosti

$c \neq 0 \text{ s } I_c \leq 0,5$

*soudržnostní index konzistence měkký*

### Pažení ocelovými pažnicemi

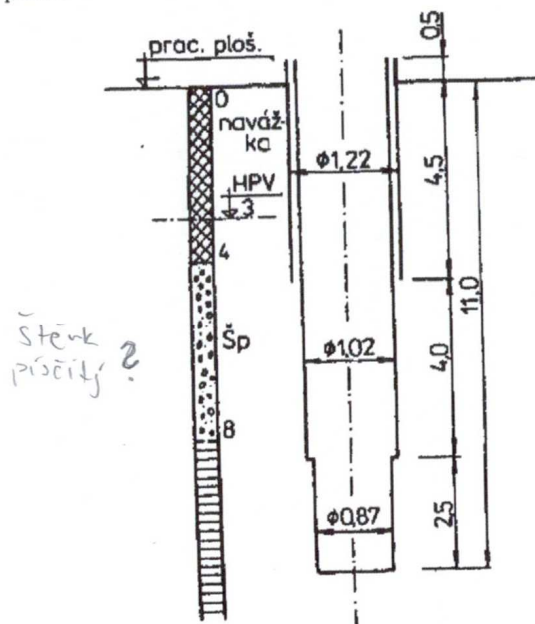
*pevnovací*

Zvláště ve městech, mosty přes řeky

Pažení postupuje spolu s hloubením (pro zeminy zcela nestabilní předchází pažení

počvu), možnost vytvoření přetlaku  $\Rightarrow$  *zabahní vniku podzemní vody do vrtu*

2 kolony pažnic



Obr.2. Příklad pažení vrtu dvěma kolonami ocelových pažnic

Vytahování pomocí lana vrtnou soupravou

nebo už vrtuňnu soutěží

bentonity

### Pažení jílovou suspenzí zvláštní příprava

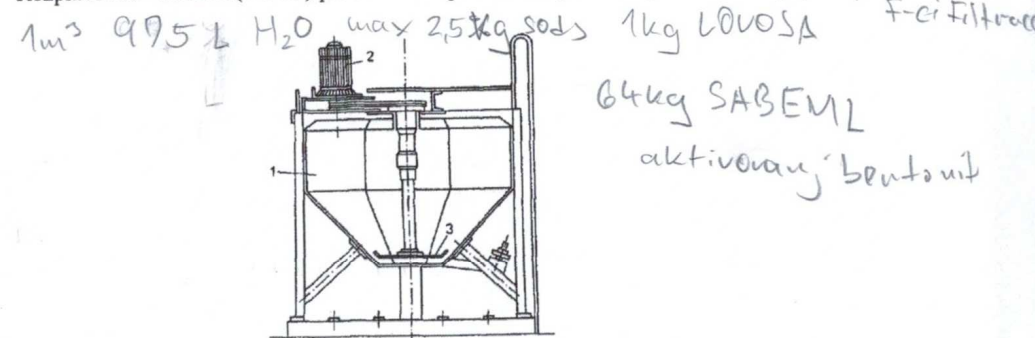
Působí hydrostatickým tlakem a vytváří filtrační vrstvu na stěně

Složení: - jíl (bentonitové jíly)

- voda

- přípravy (soda, koloidy, ztekucovadla apod.)

Rozplavovač – nádoba (4-7 m<sup>3</sup>) pro dokonalé promíchání jílu a vody



Obr.3. Schéma vrtulového rozplavovače

1 – nádoba; 2 – elektromotor; 3 – pogumovaná vrtule

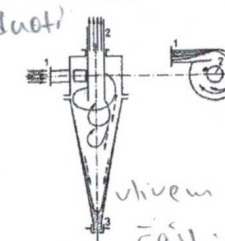
Vícenásobné použití suspenze (kontrola parametrů):

- viskozita

- filtrace

- obsah S částic (max. 5 % před betonáží), pokud nevhodné odstranění hydrocykly

nejvíce znehodnotí



Obr.4. Schéma hydrocyklu

1 - vtokový nátrubek; 2 – vnitřní odtoková trubka; 3 – spodní ventil

přívod jílové

suspenze

odvod jílové

suspenze

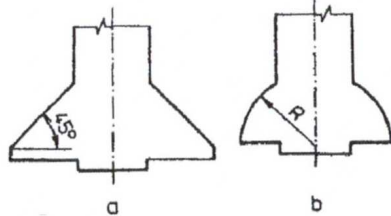
odvod s částic

4

### Piloty s rozšířenou patou

Pata – 2 až 3x větší než profil

Nástroje:



Obr.5. Schéma rozšířování paty vrtané piloty

a – zvonkový rozšířovák 45°; b – polokulový rozšířovák

U nás málo využíváno opěv prolo nepotřebujeme

Do  $c \neq 0$ , poloR kde není potřeba pažit

Podmínka – dokonale čisté dno (ručně)

můžeme využít  
Problém artézských horizontů

### PŘÍPRAVNÉ PRÁCE A ARMOVÁNÍ

Čištění šapou s rovným dnem

čerpání vody neporuší stabilitu stěn (ponorná čerpadla)

u suspenze – 1 hod. před betonáží odvrtání sedimentačního koláče ze dna (zjištění

vlastností, rozšířovák)

u železobetonových pilot – vložení armokoše (středem prochází betonážní roury!),

výztuž vyčnívá nad hlavu na kotevní délku

### BETONÁŽ

Směs z betonárny dopravená zpravidla autodomíchávači

300 – 400 kg cementu na  $m^3$

suché vrty – ukládání betonu přímo krátkou usměrňovací rourou s násypkou, centrum

voda nebo suspenze – betonovací trubky ( $\varnothing$  min. 200 mm) na dno s postupem

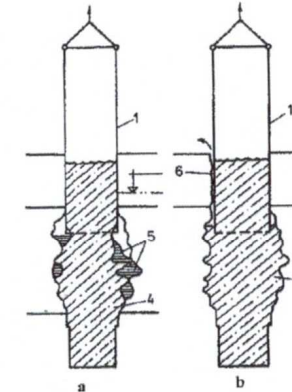
1) vtláčení betonu do trubek

2) kontinuální vytahování

3) doplňování betonu

! neustále ponořeny min. 2 m v betonové směsi  
pažnice – mezera mezi pažnicí a zeminou (únik vody)

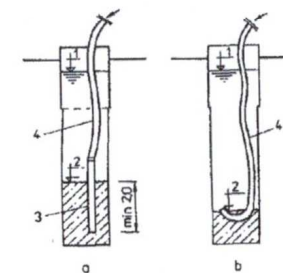
$\Rightarrow$  musíme vytvořit pět laku



Obr.6. Možnost znehodnocení dříku piloty uzavřenou podzemní vodou

do artézského  
horizontu  
betonážní čerpadlo - ! ohebná hadice ukončena ocel. rourou

$\Rightarrow$  neporušení  
stropu



Obr. 7. Betonáž pomocí čerpadla

1 – hladina vody; 2 – hladina betonu; 3 – ocelová trubka; 4 – ohebná hadice;

a – správný postup b – špatný postup

# 5. přednáška

## VÝPOČET ÚNOSNOSTI SVISLÝCH OSAMĚLÝCH PILOT

### VÝPOČET ÚNOSNOSTI PILOT PODLE DIN 4014

Osová mezní únosnost pilot opřených o skalní horninu

mezní únosnost

$$U_{vd} = A_p \cdot q_{sp} + \sum_{i=1}^n A_{mi} \cdot q_{sf,i}$$

↑ puvorce vrstevního prostředí  
↓ obvod - h

A - plocha pata piloty

$q_{sp}$  - napětí na patě piloty

$A_m$  - plocha pláště piloty v i-té vrstvě

$q_{sf}$  - mezní pláštové tření

q <sub>u</sub> (MN/m <sup>2</sup> )	q <sub>ps</sub> (MN/m <sup>2</sup> )	q <sub>sf</sub> (MN/m <sup>2</sup> )
0,5	1,5	0,08
5,0	5,0	0,5
20,0	10,0	0,5

Pevnost horniny

Obr.1. Mezní hodnoty  $q_{ps}$  pro napětí na patě a pláštové tření piloty v R v závislosti na pevnosti R  $q_u$

Výpočtová únosnost pilot ve nesoudržných a soudržných zeminách

mezní únosnost na pláště

$$R_{su} = \sum_{i=1}^n A_{mi} \cdot q_{sf,i}$$

↑ plocha pláště piloty

$q_{sf}$  - pláštové tření (tabulky)

plná mobilizace *na mezi založení*

$$s_y = 5 \cdot R_{su} + 5 \geq 30 \text{ mm}$$

- /MN/ a s<sub>y</sub> /mm/

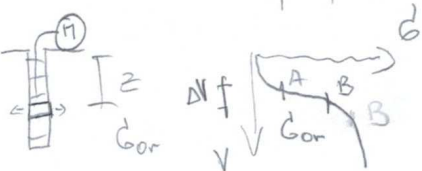
únosnost paty piloty

$$R_{b,s} = A_p \cdot q_{p,s}$$

$q_{p,s}$  - tabulky

mezi A a B - lineární  
závislost

$$E_p = \frac{\Delta G}{\Delta V} \quad \text{d}$$



NELINEÁRNÍ VÝPOČET SEDÁNÍ OSAMĚLÉ PILOTY

musím mít výsledek z  
přesného metrických zk  
závislost  $\bar{\alpha}$  na:

- konzistence  $E_{oc1} = \bar{\alpha} \cdot E_p$
- rozdíl od elastickeho řešení je vysoký u nesoudržných soudržných závislost

Postup:

- 1) rozdelení piloty na dílky do rozhraní vrstev větších
- 2) posun paty  $v_1 \Rightarrow$  aktivity sílu v patě
- 3) síla v patě  $Q_{b1}$  a v 1-ho dílku na plásti  ${}^1Q_{s1}$
- 4) zkrácení 1-ho dílku v důsledku součtu sil  $w_1$
- 5) posun dílku 2 o  $v_1 + w_1$  a mobilizace  ${}^1Q_{s2}$
- 6) postup k hlavě, tedy celk. sednutí  $s_1 = v_1 + \text{součet } w_i$
- 7) síla přenášená pilotou

$$Q_1 = Q_{b1} + \text{součet } Q_{si}$$

Výsledek do prac. diagramu piloty a vytvoření 1-ho bodu začátku křivky.

Opakování bodů 1-7. - posun v patě v velikosti  $v_2$   
Výhody, nevýhody. - můj u. přesnostem. měření, protifil, závisí na ak. větších  
nejpravější výsledek (skoro reálné chování)

### TAHOVÉ PILOTY

tahová síla Z - proti ní G a q<sub>s</sub>

deformace hlavy piloty

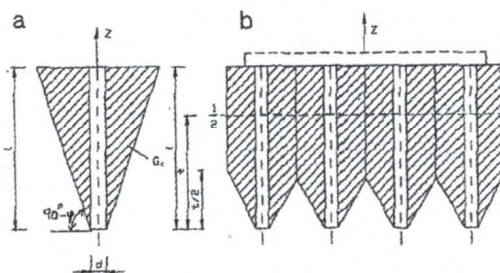
$$s_{y,tah} = 1,3 s_y$$

$$s_y = 5 \cdot R_{su} + 5 - \text{deformace při plné mobilizaci}$$

$z \leq G_c$  - tíha kuželového tělesa

2. podmínka  
pozor když z jevětší než třína hmotnosti tělesa

pak mít celé výnve



Obr.2. Konstrukce vzdorujícího zemního tělesa pro tahové piloty

a – osamělý pilot; b – skupina pilot; 1 – neúnosná vrstva; 2 – únosná vrstva  
případ osamělé piloty

### NEGATIVNÍ PLÁŠŤOVÉ TŘENÍ

Vznik a aktivizace při přechodu piloty ve únosnou vrstvu  
negativní plášťové tření která bude konsolidovat

$$-\tau_n = K \cdot \operatorname{tg}(-\delta) \cdot \sigma_z = -B \cdot \sigma_z$$

K - součinitel zemního tlaku

$\delta$  - úhel tření mezi zeminou a pláštěm piloty

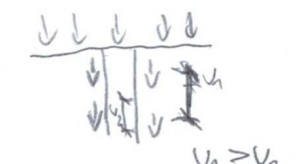
$\sigma_z$  - geostatické napětí v hloubce z

problém u praktických výpočtů (1-2 mm/rok)

Način neovlivní  
považuj jen za  
neúnosou

Počítám jen když je velká def.

deformacemi vlivem  
konsolidace jsou větší  
než def. piloty



$\rightarrow$  taž. namáhání  
pilotu  
zemina vysína  
pilotu

### ÚNOSNOST VRTANÝCH VODOROVNĚ ZATÍŽENÝCH PILOT

co přenáší?

pilota obecně považována za vetknutý nosník do pružné plastického prostředí

$$\sigma_z = K_{h,z} \cdot u_z$$

$K_{h,z}$  - modul vodorovné reakce podloží v hloubce z /  $\text{kNm}^{-3}$

$u_z$  - příslušná vodorovná deformace piloty

podle DIN 4014 soudružné

in situ x laboratorní

$$K_h = \frac{E_{def}}{d}$$

d - průměr piloty

pro  $d \geq 1,0 \text{ m} \Rightarrow d = 1,0$  pro případy kdy

$u_{z,max}$  v hlavě = 20 mm

resp.  $u_{z,max} = 0,03 \cdot d$

u nesoudržných zemin

hloubka

$K_h = \frac{z}{d} \cdot n_h \rightarrow$  pro nes. zeminy v tabulkách

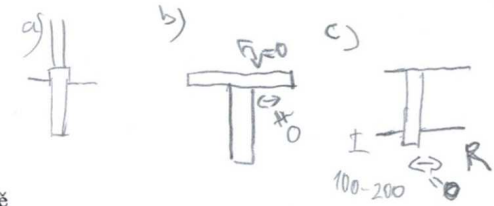
menší hodnota

Druhy deformace:

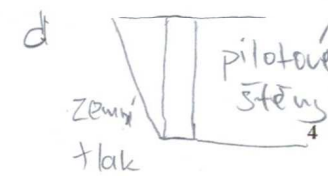
- 1) osa přímá
- 2) osa deformovaná

Možnosti podepření:

- a) volná hlava, volná pata
- b) pevná hlava, volná pata
- c) volná hlava, kloub v patě
- d) zatížení jednostranným tlakem



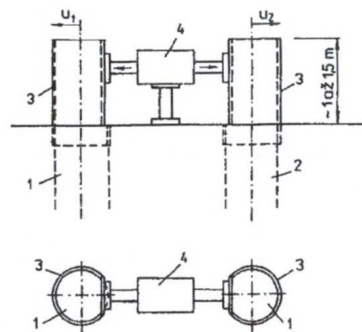
únosnost stanovit 3mi způsoby:



- 1) zatěžovací zkouška nejistejší
- 2) tabulková únosnost
- 3) výpočet

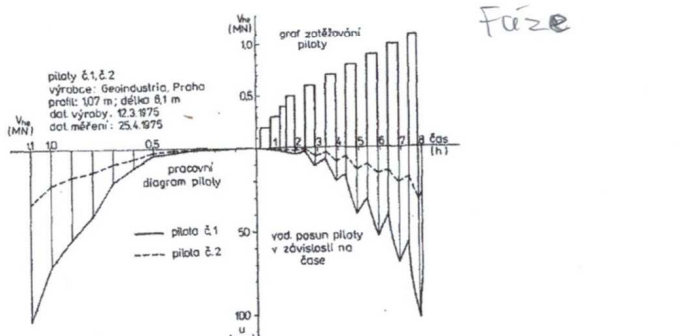
### STATICKÉ ZATEŽOVACÍ ZKOUŠKY VODOROVNĚ ZATÍŽENÝCH PILOTŮ

systém rozpěr na dvou pilotách



Obr.3. Schéma statické zatěžovací zkoušky na vodorovné zatížení

1 - pilot č.1; 2 - pilot č.2; 3 - ponechaná výpažnice s plochou pro lis; 4 - lis  
výsledek zkoušky viz obr.4



Obr.4. Výsledky měření při stat. zatěžovací zkoušce na vodorovnou sílu

vodorovná síla (vodorovná experimentální únosnost)  
odečtení  $U_{he}$  odpovídající normě nebo projektu

$$U_{hd} = \frac{U_{he}}{\gamma_{re}}$$

Vypočtao  $13 \div 1,5$   
únosnost  
 $\gamma_{re}$  - koef. podmínek působení pro odpor piloty při zatěžovacích zkouškách na vodorovnou sílu

Musím zajistit aby posun zůstal v přijatelných mezcích  
VODOROVNÁ TABULKOVÁ ÚNOSNOST nížší stupeň projektu  
předpoklady: osamělá pilot

- využití po celé délce
- větknutí hlavy
- (zemina nad hlavou) HPV pod hlavou piloty
- zatížení v úrovni hlavy

$U_{h,tab} \geq H_d \rightarrow$  horizontální síla působící na hlavu piloty  
Vypočtao

TUHÉ VODOROVNĚ ZATÍŽENÉ PILOTY

pro osa pilotes zůstává vodorovném zatížení při každém posunu vlnového

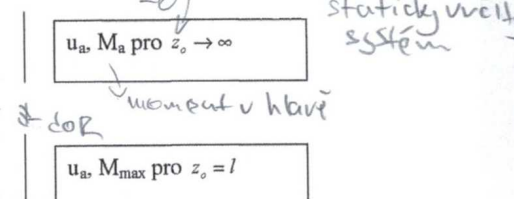
$$I_{max} \leq m \cdot d$$

výsledek řešení parciálních diferenciálních rovnic -  $u_a, O$   
a) volná hlava, volná pata

- homogenní soudržná zemina
- homogenní nesoudržná zemina

b) volná hlava, kloub v patě

- homogenní soudržná zemina
- homogenní nesoudržná zemina

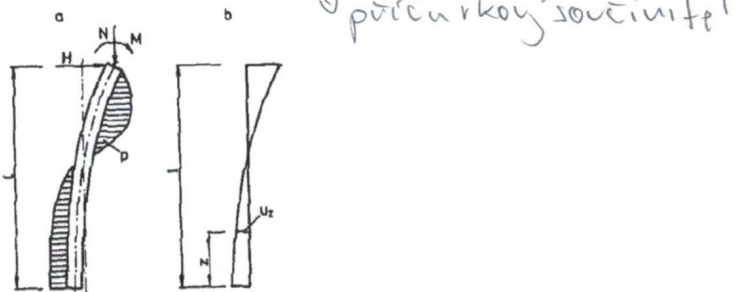


OHEBNÉ VODOROVNĚ ZATÍŽENÉ PILOTY

nesplněna podmínka

$$I_{max} \leq m \cdot d$$

modul pružnosti dříku  
řešení – nosník omezené délky na pružném podkladě ( $f(E_b, I, d)$ ) →



Obr.5. Statické schéma ohebné piloty vodorovně zatížené

1) Winklerův model podloží

pro vícevrstevný model

rozdelení piloty na n dílků – v každém posouvající sílu  $U_i$

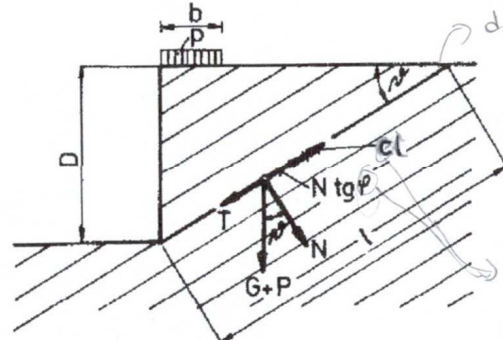
Winklerův předpoklad:  $u_i \equiv P_i \rightarrow U_i$  - je průměrná napětím kladených zeminou  
získ n+1 nezávislých lineárních rovnic o n+1 neznámých

## 6. Přednáška

### SKLONY SVAHŮ STAVEBNÍCH JAM

#### VE SKALNÍCH HORNINÁCH

Zdravé skalní 6-8 m, obecně sklon 5:1, síťovina  
bez zabezpečení → profi upadávání  
Zvětralé 3:1, proudící voda v puklinách!,  
mělké jámy → uřízení  
Hluboké jámy – analýza stability, sklon vrstev či puklin do jámy!!  
→ nafuk který vyvolá



Obr. 1. Symboly a účinky pro zjišťování stability svislého svahu ve skalní hornině se šikmou vrstevnatostí

Zjišťujeme objem V – která výdeje

Jeho tíhu G

Případné pritížení P

NORMÁLOVÁ N

Celková složka G+P

TANGENCIÁLNÍ T

Součinitel spolehlivosti svahu

$$\gamma_n = \frac{N \operatorname{tg} \varphi + c_l}{T} \geq 1,1 \div 1,3$$

Pasivní síly (stabilizují)  
Aktivní síly (destabilizují)

Při dlouhodobém otevření jámy – ochrana, pak

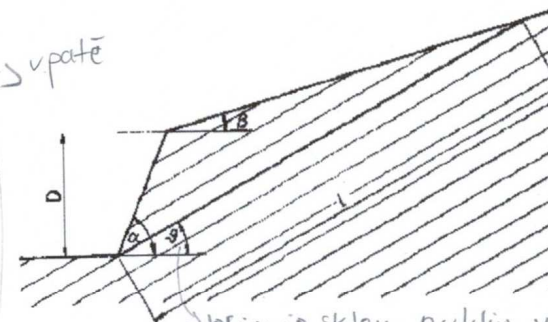
dlouhodobá

mlhovatkovosť

pokud není dvoucíž

$$W = V \cdot \gamma_w \quad \text{a} \quad \gamma_n = \frac{(N-W) \operatorname{tg} \varphi + c_l}{T \frac{N-W}{N}}$$

s možností snížení smykových  
vztahovacích sila  
parametrů



Obr. 2. Symboly pro zjišťování stability svahu v R se šikmou vrstevnatostí a skloněným povrchem území.

$$V = \frac{D^2 \sin(\alpha - \beta) \sin(\alpha - \vartheta)}{2 \sin^2 \alpha \sin(\vartheta - \beta)}$$

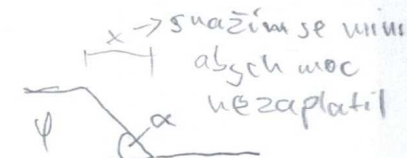
$$l = \frac{D \sin(\alpha - \beta)}{\sin \alpha \sin(\vartheta - \beta)}$$

#### V ZEMINÁCH

a) v nesoudržných zeminách

- znalost  $\varphi$  na vlně sklonu

$$\operatorname{tg} \alpha = \frac{\operatorname{tg} \varphi}{\gamma_n} \quad \gamma_n = 1,1 \div 1,3$$



pokud proudí voda, H.P.V. skloněna jako svah

$$\gamma_n \approx \frac{\operatorname{tg} \varphi}{2 \operatorname{tg} \alpha}$$

b) v soudržných zeminách

$\varphi_{ef}$ ,  $c_{ef}$



$$\text{při pritížení } p - \text{náhrada vrstvou o mocnosti } h_p \quad h_p = \frac{p}{\gamma}$$

V zeminách pro otevřené úzkory bez  
zabezpečení (3 m) viz. str. 3

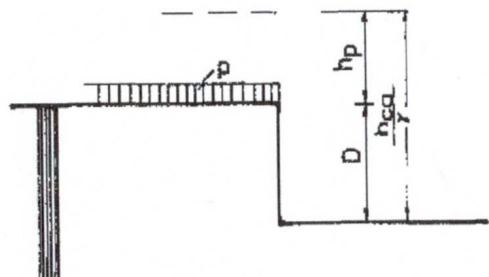
$$G_a = G_a \rightarrow 2c + f_k a$$

$$G_a = \gamma \cdot (h - h_{ca}) \cdot k_a$$

Stabilní svahy do udržovací výšky  $h_{ca}$  pro  $\gamma_n = 1$ .

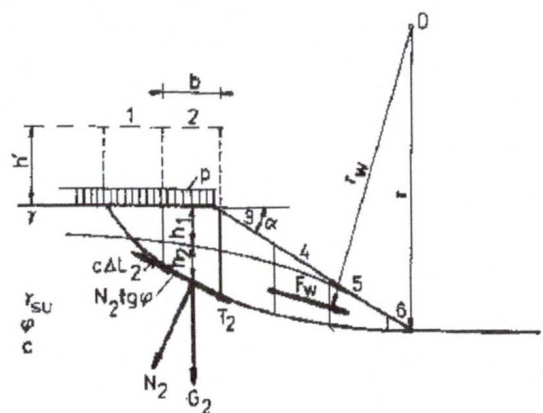
Dle obr. 3 lze budovat jámu hloubky  $D \leq \frac{h_{ca}}{\gamma_n} - h_p$  při  $\gamma_n = 1,1 \div 1,3$   
hloubkový  
tuval'

Bezpečnostní důvody  $D \leq 1,3$  m



Obr. 3. Symbols pro návrh svislého svahu jámy v soudržné zemině se zatízením povrchu.

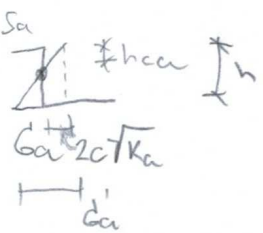
Většina případů, návrh  $\alpha < 90^\circ$



Obr. 4. Symbols pro posouzení stability svahu v soudržné zemině se zatízením povrchu a proudící vodou.



stabilizující oporové zeď v působení



$$\gamma \cdot h_{ca} \cdot k_a = 2c \sqrt{k_a}$$

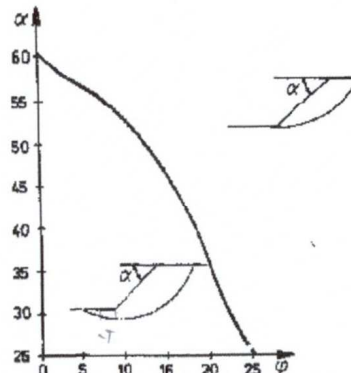
$$h_{ca} = \frac{2c}{\gamma \cdot T_{ka}} \quad ?$$

$$\frac{h_{ca} \cdot k_a}{\gamma \cdot k_a} \Rightarrow \frac{h_{ca}}{\gamma} \Rightarrow \frac{2c}{\gamma \cdot k_a^2} = \frac{2c}{k_a}$$

$$\gamma_n = \frac{\sum_{i=1}^n N_i \cdot \tan \phi + \sum_{i=1}^n c \cdot \Delta l_i}{\sum_{i=1}^n T_i + F_w \frac{r_w}{r}}$$

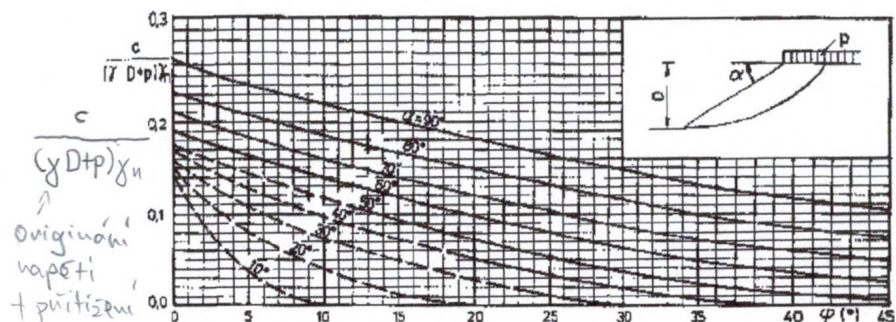
kdežel nejdříve je pravdnice  
Vpravidly tlak vzd

Kde je plocha?



Obr. 5. Závislost mezi sklonem svahu  $\alpha$  a  $\phi$  umožňuje orientačně stanovit průběh nejnebezpečnější smykové plochy. Jesenák 1979.

Pro plochy procházející patou, lze pro návrh sklonu použít obr. 6.

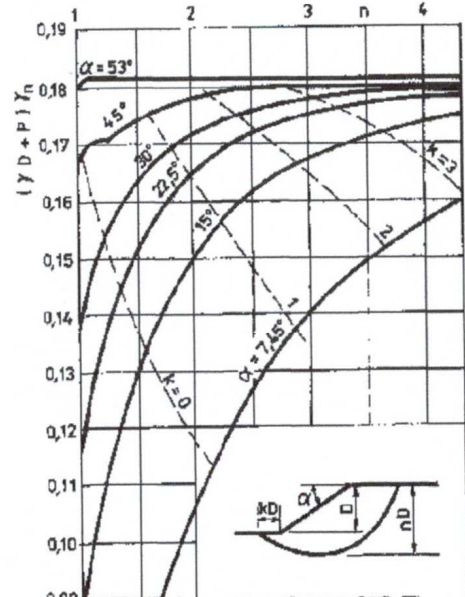


Obr. 6. Graf na určování sklonu svahu v soudržné zemině pro válcovou kluznou plochu procházející patou. Frölich.

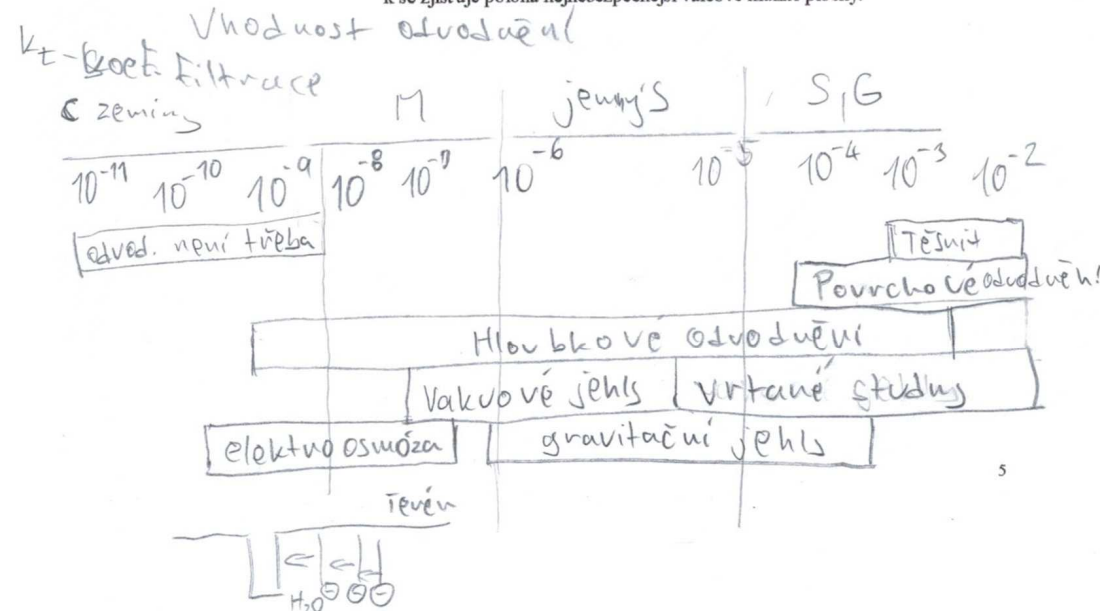
jedná se o totální parametry

Pro  $\varphi = 0$  - Taylorův graf

Při  $\varphi \approx 0$



Obr. 7. Taylorův graf pro určování sklonu svahu v soudržné zemi. Pomocí součinitelů n a k se zjišťuje poloha nejnebezpečnější válcové kluzné plochy.



## ODVODNĚNÍ STAVEBNÍCH JAM

### POVRCHOVÉ

1. Povrchové  
- určení souč. filtrace



velo 2 sběrná místa

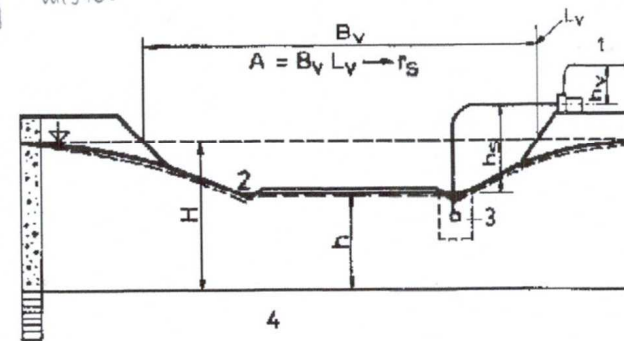
### HLUBKOVÉ

- podložiště!
- nepropustného podloží jehož  $K_t = 0$
- HPV

$$V = I \cdot K_t$$

$$I = \frac{\Delta h}{\delta L}$$

$$I = \frac{A}{B_V L_V} \rightarrow r_s$$



Obr. 8. Povrchové odvodnění hydraulicky nedokonalé st. jámy při proudnění s volnou hladinou.  
1 - čerpadlo, 2 - rýha, 3 - sběrná studna, 4 - nepropustná zemina.

Náhrada jámy fiktivní kruhovou studnou o poloměru  $r_s$

$$r_s = \sqrt{\frac{A}{\pi}}$$

③ Empirie

Hazan

Terzaghy

① Použití typových  
kurvick

při  $\varphi = 0 \quad k_t = 10^{-11} \div 10^{-8} \text{ m} \cdot \text{s}^{-1}$

dosah snížení podle Sichardta

stěhavami

$$Q_1 = \frac{\pi \cdot k_f (H^2 - h^2)}{\ln \frac{R_s + r_s}{r_s}}$$

dnešní

$$Q_2 = \pi \cdot k_f \frac{2(H-h)r_s}{\frac{\pi}{2} + 2 \arcsin \frac{r_s}{h + \sqrt{h^2 + r_s^2}} + 0,515 \frac{r_s}{h} \ln \frac{R_s + r_s}{4h}}$$

$R_s$  - dosah snížení hladiny dle Sichardta

$$R_s = 3000(H-h)\sqrt{k_f}$$

i) poslední jiný autor

obvodové rýhy  $i_r = 0,5 - 2\%$  a jejich kapacita

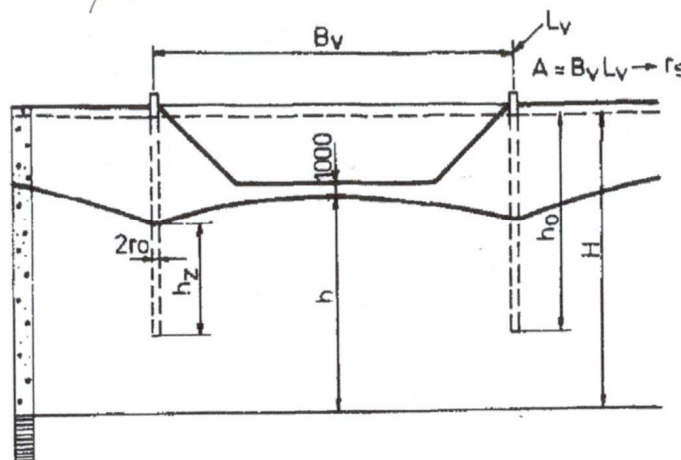
$$Q_r = A \cdot v = A \frac{1}{n} R^{\frac{1}{6}} \sqrt{R \cdot i_r}$$

Sběrné studně

## 2. Hloubkové odvodnění

a) vrtané studně

$\phi 200 \text{ a } 300 \text{ mm}$



Obr. 9. Hloubkové odvodnění hydraulicky nedokonalými studnami při proudění s volnou hladinou.

$$Q = \pi \cdot k_f \frac{H^2 - h^2}{\ln \frac{R_s + r_s}{r_s}}$$

Přítok

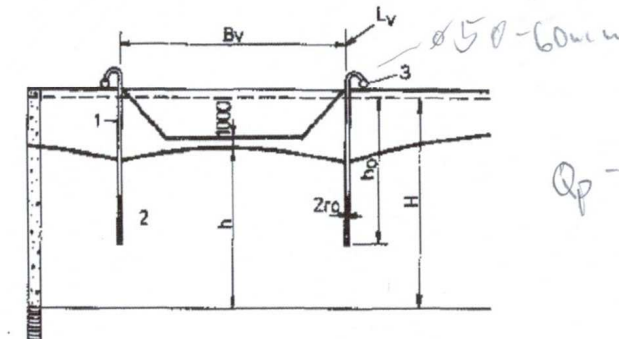
Počet studní

Množství vody ze studně  
které můžeme prodvat ještě

$$Q_p = 2\pi \cdot r_0 \cdot h_z \cdot v_p$$

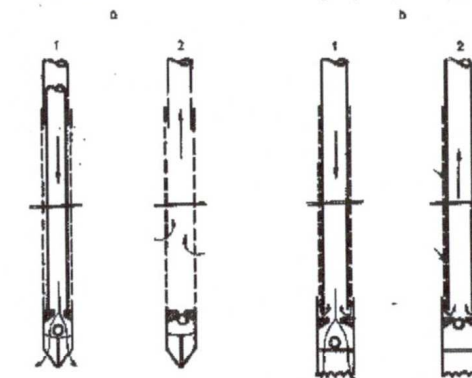
$$n = \frac{Q}{Q_p}$$

b) čerpací jehly (vakuum) - užívání podtlaku



$Q_p$  - podle jehly

Obr. 10. Hloubkové odvodnění stavební jámy čerpacími jehlami



Obr. 11. Koncovky čerpacích jehel. a) jednoduchá, b) dvojitá, 1. při vplachování. 2. při čerpání



pocátečně